

مطالعه تغییرات گلیکوز آمینو گلیکان های ماتریکس خارج سلولی در روند تکامل پالپ دندان در موش

طیبیه کرمانی* - دکتر عبدالرؤضه وارسته** - دکتر محمد رضا نیک روشن *** - دکتر مهدی مرادی****

* عضو هیأت علمی دانشگاه علوم پزشکی و خدمات بهداشتی، درمانی بیرجند

** استاد بارگروه آموزشی ایمونولوژی، دانشکده پزشکی دانشگاه علوم پزشکی و خدمات بهداشتی، درمانی مشهد

*** استاد بارگروه آموزشی علوم تشریحی، دانشکده پزشکی دانشگاه علوم پزشکی و خدمات بهداشتی، درمانی مشهد
**** دندانپزشک

Title: Study of Glycosaminoglycans of Extracellular Matrix (ECM) in Pulp of Developing Tooth

Authors: Kermany T. Ph.D Student*, Varasteh AR. Assistant Professor**, Nicravesh MR. Assistant Professor***, Moradi M. Dentist

Address: *Dept. of Anatomy, Birjand University of Medical Sciences

**Dept. of Immunology, Mashhad University of Medical Sciences

***Dept. of Anatomy, Mashhad University of Medical Sciences

Abstract: Mesenchymal- epithelial interactions during embryogenesis have been shown to be important in the fetal development of many organs. Identification of molecules that modulate these interactions is key to our understanding of the pathological conditions. The major groups of extracellular matrix (ECM) molecules characterized are glycosaminoglycans that candidate for morphogenesis and differentiation of cells and tissues. In this study the molecules of ECM were considered in tooth development, pregnant female mice of balb-c were stained (vaginal plug=0 day) and embryos (E12-E19) and newborns (PN1-PN9) were collected. Tissues were fixed, processed embedded and sectioned. Sections were stained with the following methods: Alcian Blue (pH=1), PAS- Alcian Blue (pH=2.5), Alcian Blue (pH=5.8) prepared with for MgCL₂ concentrations (CEC1- CEC4) and toluidin Blue. Non-parametric statistical test (Kruskall-Wallis) showed significant difference between groups from the point of hyaluronic acid, chondroitin sulfate, carboxylated and sulfated glycosaminoglycan in pulp. It seems that the synthesis and secretion of components of ECM is important in morphogenic events and followed by a spatiotemporal pattern and developmentally regulated.

Key words: Exteracellular matrix- Glycosaminoglycans- Pulp

Journal of Dentistry. Tehran University of Medical Sciences (Vol. 13, No:2, 2000)

چکیده

تکامل جنینی بسیاری از ارگان‌ها مستلزم میان‌کنش‌های متعدد سلول‌ها و بافت‌ها با یکدیگر و نیز محیط خارج سلولی می‌باشد و در این میان، روند تکامل دندان، سیستم بیولوژیک مناسب و جالبی را فراهم ساخته است که در آن امکان بررسی میان‌کنش‌های اپی‌تیالی - مزانشیمی دوطرفه و نیز بررسی دخالت میان‌کنش سلول‌ها با ماتریکس خارج سلولی وجود دارد. با به دست آوردن الگوی توزیع مولکول‌های مختلف در ماتریکس خارج سلولی می‌توان نقش بالقوه آنها را در هر

مرحله تکاملی ارزیابی کرد و جهت تشخیص و پیش‌آگهی بیماریها در شرایط پاتولوژیک مورد استفاده قرارداد. گلیکوزامینوگلیکان‌ها از جمله اجزای عمدۀ ماتریکس خارج سلولی هستند که در روند مورفوژنر و تمایز طبیعی سلول‌ها و بافت‌ها مطرح می‌باشند؛ بنابراین در این مطالعه تعدادی از این مولکول‌ها جهت رده‌بندی در پالپ دندان انتخاب شدند. مطالعه برروی موش Balb-c از روز دوازدهم جنینی تا ۹ روز پس از تولد با رنگ‌آمیزی‌های هیستوشیمیابی خاص گلیکوزامینوگلیکان‌ها صورت گرفت و با استفاده از آزمون غیر پارامتری کروسکال- والیس و آزمون دوطرفه Mann-Whitney مورد تجزیه و تحلیل قرار گرفت. در طی روند تکامل پالپ بین گروه‌های مورد مطالعه از نظر بروز اسید هیالورونیک، کندروایتین سولفات، گلیکوزامینوگلیکان‌های اسیدی و سولفاته اختلاف معنی‌داری وجود داشت. نتایج نشان داد که تغییر گلیکوزامینوگلیکان‌های پالپ در تمایز قسمتهای محیطی آن به انتوبلاست‌ها حائز اهمیت است؛ به عبارت دیگر، سنتز و ترشح اجزای ماتریکس خارج سلولی در وقایع مورفوژنی اهمیت دارد و از الگوی زمانی- مکانی خاصی تبعیت می‌کند؛ به همین دلیل پیشنهاد می‌شود در مطالعات بعدی با تغییر این ترکیبات در پالپ، تمایز بیشتر انتوبلاست‌ها در رضایعات عاج مورد توجه قرار گیرد.

کلید واژه‌ها: پالپ- گلیکوزامینوگلیکان‌ها- ماتریکس خارج سلولی

مجله دندانپزشکی دانشگاه علوم پزشکی و خدمات بهداشتی، درمانی تهران (دوره ۱۳، شماره دوم، سال ۱۳۷۹)

مورفوژنر طبیعی بسیاری از ارگان‌ها گزارش شده است (۱۱، ۱۰، ۹، ۸، ۷)؛ لذا می‌توان با به دست آوردن الگوی توزیع مولکول‌های مختلف در ECM در ارگان‌های در حال تکامل، نقش بالقوه و احتمالی آنها را در هر مرحله پیش‌بینی کرد و جهت تشخیص و درمان در شرایط پاتولوژیک مورد استفاده قرارداد؛ از این میان می‌توان به گلیکوزامینو-گلیکان‌های موجود در ماتریکس خارج سلولی اشاره کرد که در مراحل مختلف تکامل از الگوی خاصی تبعیت می‌کند و در موفوژنر و تمایز سلولی طبیعی جهت میان‌کنش‌های متعدد سلول- سلول و سلول- ماتریکس ضروری است؛ اما هنوز نقش آنها بخوبی شناخته نشده است (۱۲)؛ بر این اساس در این مطالعه تعدادی از این گلیکوزامینوگلیکان‌ها در پالپ دندان (که نقش کلیدی و راهنمای را در شکل گیری

مقدمه

برای مطالعه تکثیر و تمایز سلولی از سیستم‌های بیولوژیکی مختلفی استفاده شده و در این میان تکامل دندان بهترین فرصت را برای بررسی ارتباط بین فعالیت سلولی و تمایز آن فراهم ساخته است (۳، ۲، ۱). تکامل دندان مدل مناسبی برای بررسی اطلاعات موقعیتی (Positional Information)، مورفوژنر، تمایز سلولی، تشکیل ماتریکس خارج سلولی (ECM) تخصص یافته و بیومیتریازیسیون است (۳، ۱) که توسط یکسری میان‌کنش‌های اپی‌تلیالی- مزانشیمی دو طرفه کنترل می‌شود (۶، ۵، ۴، ۳)؛ به علاوه در دندان امکان بررسی میان‌کنش سلول‌ها با مولکول‌های ماتریکس خارج سلولی و بالعکس نیز وجود دارد (۲). تغییرات ترکیبات ECM در

P.A.S(Periodic Acid Schiff Reaction) رنگ‌آمیزی (رنگ‌آمیزی AB P=2.5 (Alcain Blue) pH=1^۱) انجام شد (۱۴).

پس از مطالعه و پیگیری اجزای ماتریکس خارج سلولی، درجه‌بندی شدت رنگ‌آمیزی مطابق روش Gong و همکاران (۱۹۹۷) (۱۵) صورت گرفت (جدول شماره ۱). جدول شماره ۱- راهنمای درجه‌بندی شدت رنگ‌آمیزی برای روش‌های هیستوشیمی به روش Gong (۱۹۹۷)

توضیح	رتبه‌ها
هیچ رنگی ملاحظه نشد.	(-)
شدت رنگ‌آمیزی بسیار کم (اندک)	(+)
شدت رنگ‌آمیزی کم	(++)
شدت رنگ‌آمیزی متوسط	(+++)
شدت رنگ‌آمیزی زیاد	(++++)
شدت رنگ‌آمیزی خیلی زیاد	(+++++)

جداول آماری مربوطه تهیه گردید و از طریق آزمون غیرپارامتری کروسکال- والیس و آزمون دوطرفه Mann-Whitney مورد تجزیه و تحلیل قرار گرفت.

یافته‌ها

در روند تکامل دندان روزهای جنینی معیار ثابتی نیست و در دندانهای مختلف و حتی جنین‌های یک لیتر (همزاد) ممکن است تفاوت‌های چشمگیری ملاحظه شود (۱۶)؛ این مطالعه بر اساس مراحل قراردادی تکامل دندان انجام شد.

﴿ مرحله جوانه دندانی (Tooth Bud) E13-E15:

در این مرحله قبل از تشکیل پالپ، بافت اکتوzmزانشیم (پیش‌ساز پالپ) در اطراف اندام مینایی شدیداً متراکم شد.

-۱- رنگ‌آمیزی‌های P.A.S و الین‌بلو pH=1، pH=2.5 به ترتیب گلیکوز آمینوگلیکان‌های خنثی، اسیدی و سولفاته را رنگ می‌کند.

اجزای دندان و نیز ترمیم عاج پس از ضایعات ایفا می‌کند، انتخاب شدند.

روش بررسی

در این مطالعه ۶۰ موش از نژاد Balb-c انتخاب شدند. مشاهده واژینال پلاگ به عنوان روز صفر حاملگی در نظر گرفته شد (Vaginal Plug=0 day). موشهای حامله در شرایط مطلوب از نظر رطوبت (۵۰ تا ۵۵ درجه)، دما (۲۲ درجه سانتی‌گراد)، نور (۱۲ ساعت تاریکی - ۱۲ ساعت روشنایی) و دسترسی به مواد غذایی و آب نگهداری شدند؛ سپس بر اساس روزهای جنینی دوازدهم تا نوزدهم (E12 تا E19) و تا روز نهم پس از تولد (P9)، جنین‌ها و نوزادان موش (پس از بیهوشی عمیق به کمک کلرووفرم که منجر به مرگ حیوان شد) در مدت کمتر از نیم ساعت، تشریح شدند. سر جنین‌ها (E12-E16) و فک تحتانی آنها (E17-P9) در فیکساتورهای فرمالین، بوئن به مدت ۲۴ ساعت ثابت (Fix) و پس از آن به روش معمول بافت‌شناسی آماده شد (۱۳). بطور متوسط از هر نمونه ۸ بلوك پارافینی تهیه شد و به کمک میکروتوم روتاری (Leitz 1512) به روش سریال، مقاطع ۵ تا ۷ میکرونی به صورت عرضی، سازیتال و فرونتال مهیا گردید.

رنگ‌آمیزی مقاطع توسط رنگ‌آمیزی‌های هیستوشیمیایی pH= ۵/۸ خاص گلیکوز آمینوگلیکان‌ها شامل الین‌بلو در Critical Electrolyte Concentration با چهار غلظت متفاوت از کاتیون (CEC1-CEC4)^۱ & MgCl₂ (CEC1-CEC4)¹ & MgCl₂،

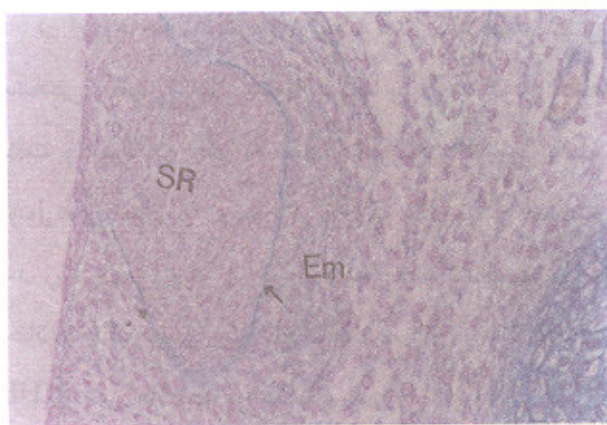
-۱- رنگ‌آمیزی‌های (CEC1-CEC4) به ترتیب ترکیبات اسیدهای اورونیک، کندروایپین سولفات و کراتان سولفات را مشخص می‌سازد.

گلیکان‌های خنثی (PAS) و سولفاته (آلسین بلو $pH=2/5$) مشیت است (جدول شماره ۲). در تصویر شماره ۱ میزان واکنش رنگ‌پذیری نسبت به ترکیبات اسید هیالورونیک (CEC1) مشاهده می‌شود.

﴿ مرحله زنگوله‌ای شکل اولیه (Early Bell Stage) ﴾

: E18-E19

افزایش ارتفاع چشمگیر ادنتوبلاست‌ها در محیط پالپ و شروع ترشح پیش‌عاج در حد فاصل این دو از وقایع قابل ملاحظه در این مرحله بود. تمایز ادنتوبلاست‌ها و ترشح عاج از طرف نواحی مرکزی به سمت گردن ادامه یافت. مزانشیم پالپ در زیر ادنتوبلاست‌ها ظاهر متراکم‌تر و پرسلوی را به خود گرفته بود؛ اما در بخش مرکزی پالپ، عروق خونی فراوان و وسیع بود.



تصویر شماره ۱ - مرحله کلاهکی: واکنش اکتومزانشیم (پالپ)، اپی‌تلیوم ستاره‌ای (Em) و غشاء پایه دندانی (پیکان‌ها) برای اسید هیالورونیک (CEC1, PAS $\times 100$) نشان داده شده است. استخوان آلتولار تمایز بیشتری پیدا کرد که می‌تواند نمایانگر نوعی همزمانی از لحظه تشکیل بافت‌های سخت (ترشح عاج و تشکیل ماتریکس) باشد. واکنش رنگ‌پذیری پالپ در این مرحله تنها نسبت به

واکنش بازووفیلی هسته سلول‌های متراکم، بدون واکنش مشخص در سیتوپلاسم سلول‌ها قابل روئیت بود.

نتیجه رنگ‌آمیزی با روش CEC1-CEC2 برای اکتومزانشیم مشیت ارزیابی شد؛ اما واکنش آن به CEC3 و CEC4 منفی بود.

نتایج حاصله از درجه‌بندی شدت رنگ‌آمیزیها برای اکتومزانشیم (پیش‌ساز پالپ) و نیز پالپ در مراحل تکاملی مختلف در جدول شماره ۲ خلاصه شده است.

﴿ مرحله کلاهکی اولیه (Early Cap Stage) ﴾

: E15-E16

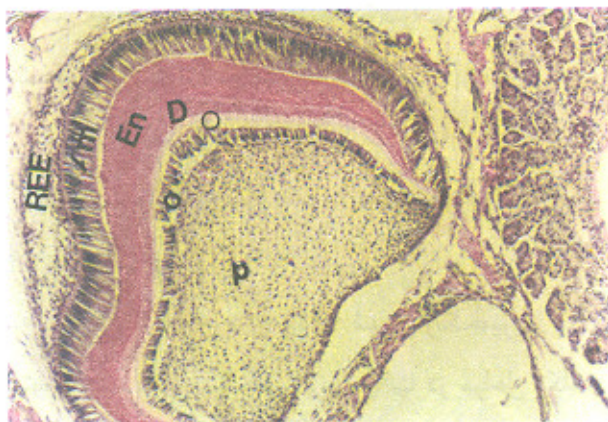
در طی این مرحله با پیشرفت روند تکامل و تمایز، بافت اکتومزانشیم به سطح تحتانی اندام مینایی فرو رفت و پالپ (دنتال پایپلا) شکل گرفت.

متراکم بافت مزانشیمی در قاعده پالپ (مربوط به ادنتوبلاست‌های آینده) به مراتب بیشتر از سایر جاها بود و به صورت مجموعه‌ای از سلول‌های شدیداً بازووفیل روی هم چیده شده بود. همان‌طور که در جدول شماره ۲ ملاحظه می‌شود، واکنش رنگ‌آمیزی پالپ به CEC1, CEC2, PAS مشیت است.

﴿ مرحله کلاهکی پیشرفت (Late Cap Stage) ﴾

: E16-E17

در قاعده اندام مینایی، مزانشیم در محیط پالپ متراکم‌تر شد و در برخی از نمونه‌های مطالعه شده در نواحی قاعده Cap، ادنتوبلاست‌ها تمایز گردید. گسترش عروقی وسیع در محیط پالپ در این مرحله تا قبل از ترشح پیش‌عاج (Predentin) مشاهده شد. شدت رنگ‌پذیری پالپ نسبت به ترکیبات اسید هیالورونیک (ECE1) و گلیکوز آمینو



تصویر شماره ۲- مرحله تشکیل عاج و مینا نشان داده شده است. پالپ (P)، ادنتوبلاستها (Od)، عاج (D)، پیش‌عاج (O)، املوبلاستها (Am)، مینا (En) کاملاً مشهود است. بقایای اپیتیلیوم مینایی (REE) نیز مشاهده می‌شود ($\times 100$, H-E).

واکنش به آلسین‌بلو با روش‌های CEC2 و CEC1 در این مرحله نشان داد که پاسخ ادنتوبلاستها و عاج به ترتیب اندک و کم بود؛ اما در ناحیه حد فاصل عاج و پیش‌عاج زیاد بود؛ در حالی که پالپ و ماتریکس استخوان باشد زیاد رنگ گرفتند (تصویر شماره ۲). ناحیه حد فاصل عاج و پیش‌عاج در CEC2، CEC3 نیز باشد متوجه رنگ گرفت؛ اما واکنش به CEC4 تنها در ناحیه عاج زیاد بود و در ناحیه پالپ و فولیکول دندانی شدت رنگ کم بود (جدول شماره ۲).

CEC1 قابل توجه بود (جدول شماره ۲). در این مرحله واکنش ادنتوبلاستها با شدت بسیار کم به CEC2 پاسخ داد. واکنش عاج و پیش‌عاج به CEC2 متفاوت بود؛ به طوری که پیش‌عاج با شدت زیاد و عاج با شدت بسیار کم به این روش پاسخ داد. در CEC3 پیش‌عاج و استخوان آلوئولار با شدت متوجه رنگ شد و در CEC4 تنها استخوان آلوئولار با شدت کم واکنش نشان داد؛ اما در رنگ‌آمیزی PAS، عاج با شدت کم و استخوان آلوئولار باشد زیاد رنگ شد.

در رنگ‌آمیزی آلسین‌بلو ($pH=1$) فقط ناحیه پیش‌عاج در حال ترشح، کمی رنگ شد.

﴿ مرحله زنگولهای شکل پیشرفته (Late Bell Stage) ﴾

: E19-P9

در این مرحله، با شروع ترشح و سنتز مینا ظاهر دندان مشخص‌تر شد. تکامل ادنتوبلاستها به طرف گردن ادامه یافت و ضخامت عاج به طور چشمگیری افزایش یافت. توبول‌های دندانی به وضوح در عاج در حال ترشح مشاهده شد. زوائد تومز نیز در هر توبول دندانی قابل تشخیص بود و اختلاف رنگ‌پذیری پیش‌عاج نسبت به عاج در رنگ‌آمیزی HE نیز قابل ملاحظه بود (تصویر شماره ۲).

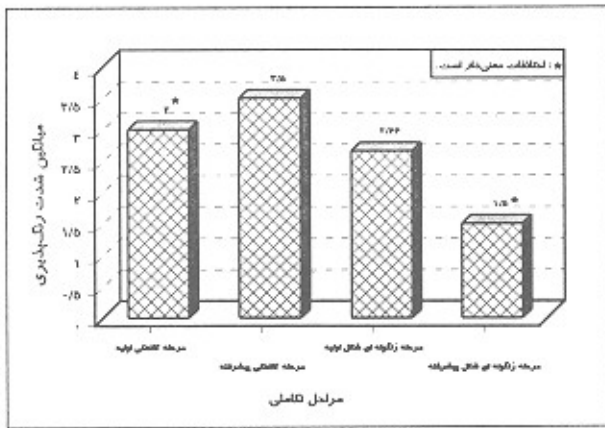
جدول شماره ۲- شدت رنگ‌پذیری پالپ در رنگ‌آمیزی‌های مختلف، در مراحل تکاملی دندان

آلسین‌بلو		PAS*	CEC ₄	CEC ₃	CEC ₂	CEC ₁	مراحل تکامل	
pH=1	pH=2/5						انواع رنگ‌آمیزی	
-	-	+	-	-	++	+++	مراحله جوانه دندانی	
-	-	++	-	-	+++	+++	مراحله کلاهکی اولیه	
-	+++	-	-	-	-	+++	مراحله کلاهکی پیشرفته	
+	+	+	-	+	+	+++	مراحله زنگولهای شکل اولیه	
+++**	+	++	++	++	+++	++++	مراحله زنگولهای شکل پیشرفته	

Periodic Acid Schiff Reaction= PAS *

** ابتدا شدت رنگ در محیط پالپ متوجه (+++) و در مرکز اندک (+) بود؛ اما با افزایش سن برشدت رنگ در محیط افروزه شد.

مهاجرت سطیغ عصبی منشأ گرفته‌اند و تمایل به تجمع در اطراف اندام مینایی دارند، ضروری به نظر می‌رسد.



تصویر شماره ۳- مقایسه شدت رنگ‌آمیزی پالپ در بین گروههای مختلف مورد مطالعه برای اسید هیالورونیک

در مرحله کلاهکی، از شدت میزان هپاران سولفات و کندروایتین سولفات کاسته شد؛ بدیهی است که با پیشرفت روند تکامل، کم کم تمایز سلولی شروع و از غلظت اسید هیالورونیک در ماتریکس کاسته می‌شود که با مطالعات Toole (۱۹۹۷) مطابق است (۲۰)؛ همچنین Mark و همکاران (۱۹۹۰) نیز با استفاده از مونوکلونال آنتی‌بادی وجود کندروایتین ۴ سولفات و ۶ سولفات را در پالپ دندان گزارش کردند (۱۲). کندروایتین سولفات در تمایز سلولی سلول‌ها (۲۴، ۲۲) نقش دارد؛ همچنین گزارش شده است که عمل تنظیم‌کننده مورفوژنر (Morphogulatory) را در طی مورفوژنر دندان و تمایز سلول‌های دورمان انتوبلاستیک بر عهده دارد (۲۱) که همه این موارد وجود کندروایتین سولفات را در پالپ توجیه می‌کند.

Nishiyama و همکاران (۱۹۹۱) در جوانه اندام نیز گزارش کردند که NG2 (یک پروتوگلیکان حاوی مقادیر

در این مرحله، واکنش رنگ‌آمیزی با آلسین‌بلو ($\text{pH}=1$) در محیط و مرکز پالپ متفاوت بود.

در ابتدا شدت رنگ در محیط بطور متوسط و در مرکز اندک بود ولی با افزایش سن بر شدت رنگ در محیط افزوده شد.

در طی روند تکامل پالپ از نظر بروز اسید هیالورونیک، کندروایتین سولفات، گلیکوز‌آمینوگلیکان‌های اسیدی و سولفاتهای بین گروههای مورد مطالعه (به ترتیب با $P=0.018$ ، $P=0.025$ ، $P=0.014$ ، $P=0.008$) اختلاف معنی‌داری وجود داشت؛ تجزیه و تحلیل بیشتر اطلاعات با آزمون دوطرفه Mann-Whitney نشان داد که این اختلاف در مراحل مختلف تکاملی بود (جدول و تصویر شماره ۳).

لازم به ذکر است که از نظر میزان گلیکوز‌آمینوگلیکان‌های خنثی اختلاف معنی‌داری مشاهده نشد.

بحث

در مراحل اولیه تشکیل دندان در ماتریکس اکتومزانشیم (پیش‌ساز پالپ) وجود اسید هیالورونیک و کندروایتین سولفات مشاهده شد؛ به علاوه در این مطالعه مشخص شد که بین گروههای مورد مطالعه (ECS تا LBS) از نظر میزان اسید هیالورونیک، کندروایتین سولفات و گلیکوز‌آمینوگلیکان‌های اسیدی و سولفاتهای در پالپ اختلاف معنی‌داری وجود دارد.

مشخص شده است که اسید هیالورونیک موجب آسان‌شدن مهاجرت سلولی می‌شود (۱۷، ۱۵، ۹، ۸)؛ کندروایتین سولفات نیز باعث تجمع سلولی می‌شود (۱۹، ۱۸، ۱۰)؛ پس وجود هر دوی آنها در اکتومزانشیم که از سلول‌های در حال

باشد؛ هرچند اظهار نظر دقیق پیرامون این موضوع نیاز به مطالعات بیشتر دارد.

پس از انجام تحلیل‌های آماری مشخص شد که در مرحله کلاهکی (Cap) از نظر شدت رنگ‌آمیزی برای اسید هیالورونیک، کندرروایتین سولفات، ترکیبات قندی خنثی و اسیدی بین اجزای در حال تکامل دندان اختلاف معنی‌داری وجود داشت. در مرحله زنگوله‌ای هیچ اختلاف معنی‌داری بین بخش‌های فوق مشاهده نشد. اختلاف در بیشتر ترکیبات قندی در بین اجزای دندان (در حالی که این اجزا هنوز مراحل ابتدایی تکامل و تمایز خود را آغاز کرده‌اند)، می‌تواند دلیل اهمیت این ترکیبات در تمایز باشد؛ به ویژه آن که، بنا بر گزارشات Kaufman (۱۹۹۷)، این مرحله (Cap) از مراحل بحرانی و حساس در تکامل جنبی دندان محسوب می‌شود (۲۴).

در نهایت، با توجه به اهمیت این ترکیبات در روند تکامل و تمایز طبیعی دندان، شناخت دقیق این مولکول‌ها در پیشرفت روند پوسیدگی و بیماری‌های دهان نقش عمده‌ای را ایفا می‌کند و نیاز به مطالعه و بررسی دقیق آن در بالغین کاملاً محسوس می‌باشد.

جدول شماره ۳- میانگین شدت رنگ‌آمیزی در پاسخ به روش‌های هیستوشیمی

در طی دوره‌های مطالعه شده در پالپ

آلسین بلو		PAS*	CEC2	CECI	رنگ‌آمیزی	مراحل تکاملی
pH=۱	pH=۲/۵					
۰/۵	۱	۲	۳	۳	مرحله کلاهکی اولیه	
۱	۳	۱/۵	۲/۵	۲/۵	مرحله کلاهکی پیشرفته	
۰/۶۶	۰/۳۳	۱/۳۳	۲	۲/۶۶	مرحله زنگوله‌ای شکل اولیه	
۰	۱/۵	۱/۵	۱	۱/۵	مرحله زنگوله‌ای شکل پیشرفته	

Periodic Acid Schiff Reaction=PAS *

زیاد کندرروایتین سولفات)، در مراحل اولیه تکامل غضروف فراوان است که با تمایز بیشتر میزان آن کاهش می‌یابد. محققین دیگر، مشاهدات مشابهی را در نرون‌ها و سلول‌های گلیانشان دادند (۲۳). در این مطالعه نیز در مراحل اولیه تکامل پالپ میزان کندرروایتین سولفات زیاد بود؛ اما بعد از آن میزان کندرروایتین سولفات سیر نزولی داشت.

از طرف دیگر، در طی مراحل تکامل پالپ، تنها در مرحله زنگوله‌ای بود که نسبت به CEC4 و CEC3 واکنشی مشاهده شد و این مطلب حاکی از عدم وجود یا کمبودن ترکیبات سولفاته نظیر هپارین و کراتات سولفات است. واکنش متاکرومایزی پالپ برای گلیکوز آمینو گلیکان‌ها در مراحل مختلف تکامل پالپ متفاوت به نظر رسید و در رنگ‌آمیزی‌های مختلف نیز در واکنش کندرروایتین سولفات اختلاف مشاهده شد که شاید به دلیل متفاوت بودن درجه سولفاسیون آنها باشد؛ چنان‌که Mark و همکاران (۱۹۹۰) نیز تفاوت در میزان بروز کندرروایتین ۴ و ۶ سولفات را از نظر زمانی و مکانی در پالپ مشاهده کردند (۱۲). با توجه به هماهنگی تغییرات درجه سولفاسیون گلیکوز آمینو گلیکان‌ها با وقایع تکاملی خاص، ممکن است وجود این گروه‌های سولفوری نیز برای تکامل دندان اهمیت داشته باشد.

بدینوسیله مراتب تشکر و قدردانی اعلام می‌گردد.

همچنین از کلیه اساتید و همکارانی که ما را در انجام

این طرح یاری نمودند، تشکر و قدردانی می‌گردد.

تشکر و قدردانی

این مطالعه به صورت یک طرح تحقیقاتی و با حمایت

مالی معاونت پژوهشی دانشگاه علوم پزشکی مشهد در

پژوهشکده بوعلی و دانشکده پزشکی انجام شد که

منابع:

- 1- Kurke P, Ogata K, Tan EM. Monoclonal antibodies to proliferating cell nuclear antigen (PCNA)/ Cyclin as probes for proliferating cells by immunofluorescence microscopy and flow cytometry. *J Immunol Methods* 1988; 109: 49-59.
- 2- Slavkin HC. Embryonic tooth formation: A tool for development biology. *Oral Sciences Reviews* 1974; 4: 130-136.
- 3- Thesleff I, Vaahtokari A, Vainio S, Jowett A. Molecular mechanisms of cell and tissue interactions during early tooth development. *Anat Rec* 1996; 245: 151-161.
- 4- Thesleff I, Vaahtokari A, Partanen AM. Regulation of organogenesis common molecular mechanism regulating the development of teeth and other organs. *Int J Dev Biol* 1995; 39: 35-50.
- 5- Thesleff I, Partanen AM, Vainio S. Epithelial mesenchymal interactions in tooth morphogenesis: The roles of extracellular matrix, growth factors, and cell surface receptors. *J Craniofac Genet Dev Biol* 1991; 11: 229-37.
- 6- Vainio S, Jalkanen M, Thesleff I. Syndecan and Tenascin Expression in embryonic tooth mesenchyme. *J Cell Biol* 1989; 108: 1945-54.
- 7- Lixbimov AV, Burgeson RE, Butkowski RJ, Couchman IR, Wu RR, Ninomiya Y, Sado Y, Maguen E, Nesburn AB, Kenney C. Extracellular matrix alterations in human corneas with bullous keratopathy. *Investigative Ophthalmology Visual Science* 1996; 37: 997-1007.
- 8- Kohdo D, Morton CS, Parker AA, Hatanaka H, Hiagaki FM, Campbell ID, Day AJ. Solution structure of the link module: a hyaluronanbinding domain involved in extracellular matrix stability and cell migration. *Cell* 1996; 86: 767-775.
- 9- Knudson CR, Toole BP. Changes in the pericellular matrix during differentiation of limb bud mesoderm. *Int J Dev Biol* 1985; 112: 308-318.
- 10- Gumbiner BM. Cell adhesion: the molecular basis of tissue architecture and morphogenesis. *Cell* 1996; 84: 345-357.
- 11- Gullberg D, Ekblom P. Extracellular matrix and its receptors during development. *Int J Dev Biol* 1995; 39: 845-854.
- 12- Mark MP, Baker JR, Morrison K, Ruch JV. Chondroitin sulfates in developing mouse tooth germs differentiation. *1990; 43: 37-50.*
- 13- Bancroft D. Theory and Practice of Histological Techniques. England: Churchill Livingston; 1982.
- 14- Drury RA, Wallington. Carleton's Histological Technique. 5th ed. London: Oxford University Press; 1982.
- 15- Gong H, Ye V, Freddo TF, Hernandez MR. Hyaluronic acid in the normal and glaucomatus optic nerve. *Exp Eye Res* 1997; 64: 587-595.
- 16- Lyngstadaase SP, Moinechen CB, Risnes S. Crown morphology, enamel distribution, and enamel structure in mouse molars. *Anat Rec* 1998; 250: 268-280.
- 17- Lee KA, Pierce RA, Mechan RP, Parks WC. Increased mesenchymal density accompanies induction of tropoelastin expression in developing elastic tissue. *Dev Dyn* 1994; 200: 53-67.
- 18- Lodish H, Baltimore D, Berk A, Zipursky SL, Matsudavia P, Darnell J. Molecular cell Biology. 3rd ed. Scientific America; 1995; 194: 1124-1189.

- 19- Kaepper PA, Goossens W, Hvizzd M, Palmberg PF. Glycosaminoglycans of the human trabecular meshwork in primary open-angle glaucoma. *Invest Ophthalmology and Visual Science* 1996; 37: 1360-66.
- 20- Toole BP. Hyaluronan in morphogenesis. *J Int Med* 1997; 242: 35-40.
- 21- Galbraith DB, Cutler LS, Kollar EJ. The correlation of temporal regulation of glycosaminoglycan synthesis with morphogenetic events in mouse tooth development. *Arch Oral Biol* 1992; 37: 623-28.
- 22- Ayanoglou CH, Lecolle S, Septier D, Goldberg M. Curprolinic blue visualization of cytosolic and membrane associated glycosaminoglycans in the rat junctional epithelium and gingival epithelia. *Histochem J* 1994; 26: 213-25.
- 23- Nishiyam A, Dahlin KS, Stallecup WB. The expression of NG2 proteoglycan in the developing rat limb. *Dev Biol* 1991; 111: 933-44.
- 24- Kaufman JH. Mouse and human embryonic development: a comparative overview. In: Strachan T, Lindsay S, Wilson DI. Molecular Genetics of Early Human Development. Oxford: Bios Scientific Publishers Ltd; 1997:Chapter 6: 77-110.